

Mecânica Analítica

Capítulo 5: Oscilações

H. Terças

Instituto Superior Técnico
(Departamento de Física)

5.1 Pequenas oscilações

5.2 Modos normais

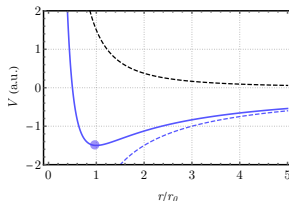
5.3 Oscilações forçadas

A q_{i0} dá-se o nome de **ponto de equilíbrio**.

$$Q_i = - \left(\frac{\partial V}{\partial q_i} \right) \bigg|_{q_{i0}} = 0.$$

A q_{i0} dá-se o nome de **ponto de equilíbrio**.

- Exemplo 1: Potencial efectivo da gravitação $V(r) = -\frac{k}{r}$



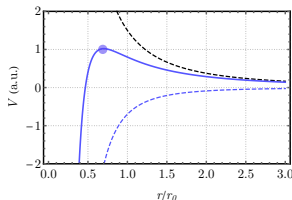
Equilíbrio **estável**: $\left(\frac{\partial V_{\text{ef.}}}{\partial r}\right)\bigg|_{r_0} = 0, \left[\left(\frac{\partial^2 V_{\text{ef.}}}{\partial r^2}\right)\bigg|_{r_0} > 0\right]$

O equilíbrio de um sistema é caracterizado por

$$Q_i = - \left(\frac{\partial V}{\partial q_i} \right) \Big|_{q_{i0}} = 0.$$

A q_{i0} dá-se o nome de **ponto de equilíbrio**.

- Exemplo 2: Potencial efectivo dipolar $V(r) = -\frac{k'}{r^3}$



Equilíbrio **instável**: $\left(\frac{\partial V_{\text{ef.}}}{\partial r} \right) \Big|_{r_0} = 0, \quad \left(\frac{\partial^2 V_{\text{ef.}}}{\partial r^2} \right) \Big|_{r_0} < 0$

Estamos interessados em desvios ao equilíbrio,

$$q_i = q_{i0} + \eta_i.$$

Para n coordenadas generalizadas, o potencial pode ser escrito como (soma nos índices repetidos!)

$$V(q_1, \dots, q_n) = V(q_{01}, \dots, q_{0n}) + \cancel{\left(\frac{\partial V}{\partial q_i}\right)_0} \eta_i + \frac{1}{2} \underbrace{\left(\frac{\partial^2 V}{\partial q_i \partial q_j}\right)_0}_{V_{ij}} \eta_i \eta_j + \dots,$$

onde $f_0 = f(q_{10}, \dots, q_{n0})$.

$$V \simeq V_0 + \frac{1}{2} V_{ij} \eta_i \eta_j$$

A energia cinética é uma função quadrática das velocidades (mesmo para sistemas acoplados, i.e. com “termos cruzados”)

$$T = \frac{1}{2} m_{ij} \dot{q}_i \dot{q}_j = \cancel{T_0} + \frac{1}{2} m_{ij} \dot{\eta}_i \dot{\eta}_j.$$

Quanto à matriz de massa $m_{ij} = m_{ij}(q_1, \dots, q_n)$,

$$m_{ij}(q_1, \dots, q_n) = m_{ij}(q_{01}, \dots, q_{0n}) + \left(\frac{\partial m_{ij}}{\partial q_k} \right)_0 \eta_k + \dots$$

T é quadrática nos $\dot{\eta}_i$'s, portanto o único termo que conservamos da expansão é $m_{ij}(q_{01}, \dots, q_{0n}) \equiv T_{ij}$

$$T \simeq \frac{1}{2} T_{ij} \dot{\eta}_i \dot{\eta}_j.$$

Assim, o Lagrangeano para **pequenas oscilações** é

$$L = T - V = \frac{1}{2}T_{ij}\dot{\eta}_i\dot{\eta}_j - \frac{1}{2}V_{ij}\eta_i\eta_j$$

- Equações de Euler-Lagrange: $\frac{d}{dt} \left(\frac{\partial L}{\partial \dot{\eta}_k} \right) - \frac{\partial L}{\partial \eta_k} = 0$

$$\frac{d}{dt} \left(\frac{1}{2}T_{ij} \underbrace{\frac{\partial \dot{\eta}_i}{\partial \dot{\eta}_k}}_{\delta_{ik}} \dot{\eta}_j + \frac{1}{2}T_{ij} \underbrace{\frac{\partial \dot{\eta}_j}{\partial \dot{\eta}_k}}_{\delta_{jk}} \dot{\eta}_i \right) + \frac{1}{2}V_{ij} \underbrace{\frac{\partial \eta_i}{\partial \eta_k}}_{\delta_{ik}} \eta_j + \frac{1}{2}V_{ij} \underbrace{\frac{\partial \eta_j}{\partial \eta_k}}_{\delta_{jk}} \eta_i = 0$$
$$\Leftrightarrow \frac{d}{dt} (T_{kj}\dot{\eta}_k) + V_{kj}\eta_k = 0.$$

Como $T_{kj} = T_{jk}$, $V_{kj} = V_{jk}$ (tensores simétricos),

$$T_{ij}\ddot{\eta}_j + V_{ij}\eta_j = 0$$

Equação geral do movimento para pequenas oscilações:

$$T_{ij}\ddot{\eta}_j + V_{ij}\eta_j = 0.$$

- Solução geral da equação: $\eta_i = \text{Re} [a_i e^{-i\omega t}]$

$$(V_{ij} - \omega^2 T_{ij}) a_j = 0.$$

A solução não trivial implica

$$\det(\mathbf{V} - \omega^2 \mathbf{T}) = 0.$$

Problema de **valores próprios**

$$\boxed{\mathbf{V} \cdot \vec{a} = \omega^2 \mathbf{T} \cdot \vec{a}}$$

$\therefore \vec{a}$'s são os **vectores próprios** (obtidos determinando $N(\mathbf{V} - \omega^2 \mathbf{T})$),
associados a cada **valor próprio** ω^2 .

Seja \vec{a}_ℓ um dos vectores próprios do problema ($\lambda_\ell = \omega_\ell^2$)

$$\mathbf{V} \cdot \vec{a}_\ell = \lambda_\ell \mathbf{T} \cdot \vec{a}_\ell \quad \Rightarrow \quad \vec{a}_\ell^\dagger \cdot \mathbf{V} = \lambda_\ell^* \vec{a}_\ell^\dagger \cdot \mathbf{T},$$

onde $\vec{a}_\ell^\dagger = \vec{a}_\ell^{T*}$ (vector adjunto). Multiplicando por \vec{a}_ℓ e \vec{a}_ℓ^\dagger e subtraindo,

$$(\lambda_\ell - \lambda_\ell^*) \underbrace{\vec{a}_\ell^\dagger \cdot \mathbf{T} \cdot \vec{a}_\ell}_{c_\ell} = 0 \Rightarrow c_\ell \in \mathbb{R}.$$

Fazendo a decomposição $\vec{a}_\ell = \vec{\alpha}_\ell + i\vec{\beta}_\ell$,

$$c_\ell = \vec{\alpha}_\ell^T \cdot \mathbf{T} \cdot \vec{\alpha}_\ell + \vec{\beta}_\ell^T \cdot \mathbf{T} \cdot \vec{\beta}_\ell + i \underbrace{\left(\vec{\alpha}_\ell^T \cdot \mathbf{T} \cdot \vec{\beta}_\ell - \vec{\beta}_\ell^T \cdot \mathbf{T} \cdot \vec{\alpha}_\ell \right)}_{=0, \quad (T_{ij}=T_{ji})}.$$

A matriz \mathbf{T} é definida positiva, $c_\ell \geq 0$.

$$\boxed{\lambda_\ell = \lambda_\ell^*}^1$$

A energia cinética pode então escrever-se $T = \frac{1}{2} \dot{\vec{\eta}}^T \cdot \mathbf{T} \cdot \dot{\vec{\eta}}$

¹**Nota:** Embora $\lambda_\ell \in \mathbb{R}$, isto não implica que ω seja real ($\omega = \pm \sqrt{\lambda_\ell}$!)

Voltemos à relação usando o facto de \mathbf{T} ser definida positiva,

$$\mathbf{V} \cdot \vec{a}_\ell = \lambda_\ell \mathbf{T} \cdot \vec{a}_\ell \quad \Rightarrow \quad \vec{a}_k^T \cdot \mathbf{V} = \lambda_k^* \vec{a}_k^T \cdot \mathbf{T}.$$

Multiplicando por \vec{a}_k^T e \vec{a}_ℓ e subtraindo,

$$(\lambda_k - \lambda_\ell) \underbrace{\vec{a}_\ell^T \cdot \mathbf{T} \cdot \vec{a}_k}_{c_{\ell k} = c_{k\ell}} = 0.$$

Na ausência de **degenerescência**, $\lambda_k \neq \lambda_\ell$ para $k \neq \ell$, $c_{\ell k} = 0$.
Genericamente,

$$c_{\ell k} = \delta_{\ell k}.$$

Isto permite-nos fixar as componentes dos vectores próprios

$$\vec{a}_k^T \cdot \mathbf{T} \cdot \vec{a}_\ell = \mathbb{I} \delta_{k\ell} \Rightarrow a_{i;k} T_{ij} a_{j;\ell} = \delta_{ij} \delta_{k\ell}^2.$$

Para um mesmo vector,

$$\boxed{\vec{a}_\ell^T \cdot \mathbf{T} \cdot \vec{a}_\ell = 1}$$

²(k, ℓ): índice de vector próprio; (i, j): índice de componente de cada vector

Assumindo que temos n vectores próprios \vec{a}_k **linearmente independentes**, construímos a matrix \mathbf{A}

$$\mathbf{A} = \begin{bmatrix} | & | & \dots & | \\ \vec{a}_1 & \vec{a}_2 & \dots & \vec{a}_n \\ | & | & \dots & | \end{bmatrix},$$

satisfazendo, por construção, $\mathbf{A}^T = \mathbf{A}^{-1}$ (unitária). Esta matrix permite diagonalizar o tensor de energia cinética

$$\mathbf{A}^T \mathbf{T} \mathbf{A} = \mathbb{I}.$$

Regressando à equação dos valores próprios do problema,

$$\mathbf{V} \cdot \vec{a}_k = \underbrace{\lambda_k}_{\lambda_k \mathbb{I}} \cdot \mathbf{T} \cdot \vec{a}_k \quad (\text{componentes: } V_{ij} a_{j;k} = T_{im} a_{m;k} \lambda_{k\ell} \delta_{k\ell})$$

$$\mathbf{V} \mathbf{A} = \mathbf{T} \mathbf{A} \lambda \Rightarrow \mathbf{A}^T \mathbf{V} \mathbf{A} = \underbrace{\mathbf{A}^T \mathbf{T} \mathbf{A}}_{\mathbb{I}} \lambda = \lambda$$

$$\det(\mathbf{V} - \lambda \mathbb{I}) = 0$$

- Exemplo: Dois graus de liberdade acoplados

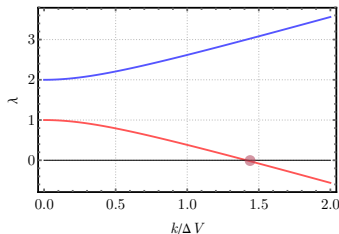
$$L = \frac{1}{2}m(\dot{x}_1^2 + \dot{x}_2^2) - \frac{1}{2}V_{ij}x_ix_j$$

Da transformação de congruência (diagonalização),

$$\begin{vmatrix} V_{11} - \lambda & \kappa \\ \kappa & V_{22} - \lambda \end{vmatrix} = 0, \quad \kappa \equiv V_{12} = V_{21}.$$

Valores próprios:

$$\lambda_{\pm} = \frac{1}{2} \left(V_{11} + V_{22} \pm \sqrt{(V_{11} - V_{22})^2 + 4\kappa^2} \right)$$



- Exemplo: Dois graus de liberdade acoplados

$$L = \frac{1}{2}m(\dot{x}_1^2 + \dot{x}_2^2) - \frac{1}{2}V_{ij}x_ix_j$$

Vectores próprios: \vec{a}_{\pm} , dados por

$$N(\mathbf{V} - \lambda_{\pm}\mathbb{I}) = 0 \Leftrightarrow \begin{bmatrix} V_{11} - \lambda_{\pm} & \kappa \\ \kappa & V_{22} - \lambda_{\pm} \end{bmatrix} \begin{bmatrix} a_{1,\pm} \\ a_{2,\pm} \end{bmatrix} = 0$$

Assumindo $\kappa \ll \Delta$, com $\Delta = |V_{11} - V_{22}|$ (por comodidade)

$$\vec{a}_+ = \begin{bmatrix} 1 - \frac{\kappa^2}{2\Delta^2} \\ \frac{\kappa}{\Delta} - \frac{\kappa^3}{2\Delta^3} \end{bmatrix}, \quad \vec{a}_- = \begin{bmatrix} -\frac{\kappa}{\Delta} + \frac{\kappa^3}{2\Delta^3} \\ 1 - \frac{\kappa^2}{2\Delta^2} \end{bmatrix}$$

Ortogonalidade: $\vec{a}_+ \cdot \vec{a}_- = 0$.

- Exemplo: Dois graus de liberdade acoplados

$$L = \frac{1}{2}m(\dot{x}_1^2 + \dot{x}_2^2) - \frac{1}{2}V_{ij}x_ix_j$$

Vectores próprios: \vec{a}_{\pm} , dados por

$$N(\mathbf{V} - \lambda_{\pm}\mathbb{I}) = 0 \Leftrightarrow \begin{bmatrix} V_{11} - \lambda_{\pm} & \kappa \\ \kappa & V_{22} - \lambda_{\pm} \end{bmatrix} \begin{bmatrix} a_{1,\pm} \\ a_{2,\pm} \end{bmatrix} = 0$$

A matriz de congruência \mathbf{A} , por fim, escreve-se

$$\mathbf{A} = \begin{bmatrix} 1 - \frac{\kappa^2}{2\Delta^2} & -\frac{\kappa}{\Delta} + \frac{\kappa^3}{2\Delta^3} \\ \frac{\kappa}{\Delta} - \frac{\kappa^3}{2\Delta^3} & 1 - \frac{\kappa^2}{2\Delta^2} \end{bmatrix}.$$

Da discussão anterior, vemos que as soluções gerais são combinações de vários **modos** (soma nos índices repetidos!)

$$\eta_i = \text{Re}[a_i e^{-i\omega t}] = \text{Re}[C_k a_{i;k} e^{-i\omega_k t}] = f_k a_{i;k} \cos(\omega_k t + \delta_k).^3$$

Podemos definir coordenadas **normais**

$$\eta_i = a_{i;k} \zeta_k \quad (\text{matricialmente: } \vec{\eta} = \mathbf{A} \cdot \vec{\zeta})$$

O potencial então escreve-se

$$V = \frac{1}{2} \vec{\eta}^T \cdot \mathbf{V} \cdot \vec{\eta} = \frac{1}{2} \left(\mathbf{A} \cdot \vec{\zeta} \right)^T \cdot \mathbf{A} \mathbf{V} \cdot \vec{\zeta} = \frac{1}{2} \vec{\zeta}^T \mathbf{A}^T \mathbf{V} \mathbf{A} \cdot \vec{\zeta}.$$

Usando $\mathbf{A}^T \mathbf{V} \mathbf{A} = \boldsymbol{\lambda} = \lambda \mathbb{I}$,

$$V = \frac{1}{2} \omega_k^2 \zeta_k^2$$

Para a energia cinética,

$$T = \frac{1}{2} \vec{\zeta}^T \cdot \overbrace{\mathbf{A}^T \mathbf{T} \mathbf{A}}^{\mathbb{I}} \cdot \vec{\zeta} \Leftrightarrow T = \frac{1}{2} \dot{\zeta}_k \dot{\zeta}_k$$

³(k, ℓ): índice de vector próprio; (i, j): índice de componente de cada vector

Da discussão anterior, vemos que as soluções gerais são combinações de vários **modos** (soma nos índices repetidos!)

$$\eta_i = \text{Re}[a_i e^{-i\omega t}] = \text{Re}[C_k a_{i;k} e^{-i\omega_k t}] = f_k a_{i;k} \cos(\omega_k t + \delta_k).^4$$

Em termos das coordenadas **normais**, temos então

$$L = \frac{1}{2} \left(\dot{\zeta}_k^2 + \omega_k^2 \zeta_k^2 \right),$$

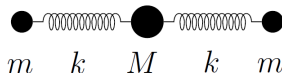
cujas equações do movimento resultam em

$$\ddot{\zeta}_k + \omega_k^2 \zeta_k = 0.$$

∴ As coordenadas normais diagonalizam **T** e **V** simultaneamente.

⁴(k, ℓ): índice de vector próprio; (i, j): índice de componente de cada vector

- Exemplo: A molécula tri-atômica.

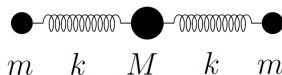


O potencial é $V = \frac{1}{2}k(x_2 - x_1 - \ell)^2 + \frac{1}{2}k(x_3 - x_2 - \ell)^2$. Definindo $\eta_i = x_i - x_{0i}$, com a condição de equilíbrio

$$x_{02} - x_{01} = \ell = x_{03} - x_{02},$$

$$\begin{aligned} V &= \frac{1}{2}k(\eta_2 - \eta_1)^2 + \frac{1}{2}k(\eta_3 - \eta_2)^2 \\ &= \frac{1}{2}k(\eta_1^2 + 2\eta_2^2 + \eta_3^2 - 2\eta_1\eta_2 - 2\eta_2\eta_3) \end{aligned}$$

- Exemplo: A molécula tri-atômica.

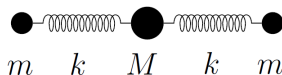


O potencial é $V = \frac{1}{2}k(x_2 - x_1 - \ell)^2 + \frac{1}{2}k(x_3 - x_2 - \ell)^2$. Definindo $\eta_i = x_i - x_{0i}$, com a condição de equilíbrio

$$x_{02} - x_{01} = \ell = x_{03} - x_{02},$$

$$\mathbf{V} = \begin{bmatrix} k & -k & 0 \\ -k & -2k & -k \\ 0 & -k & k \end{bmatrix}$$

- Exemplo: A molécula tri-atómica.



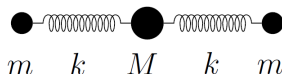
Quanto à energia cinética,

$$T = \frac{1}{2}m (\dot{\eta}_1^2 + \dot{\eta}_3^2) + \frac{1}{2}M\dot{\eta}_2^2.$$

Em forma matricial,

$$\mathbf{T} = \begin{bmatrix} m & 0 & 0 \\ 0 & M & 0 \\ 0 & 0 & m \end{bmatrix}$$

- Exemplo: A molécula tri-atômica.



Combinando os dois tensores, a equação secular é

$$\det(\mathbf{V} - \omega^2 \mathbf{T}) = \begin{vmatrix} k - \omega^2 m & -k & 0 \\ -k & 2k - \omega^2 M & -k \\ 0 & -k & k - \omega^2 m \end{vmatrix} = 0,$$

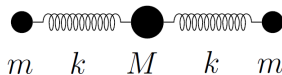
conduzindo ao seguinte polinómio característico

$$\omega^2 (k - \omega^2 m) [k(2m + M) - \omega^2 Mm] = 0.$$

Soluções:

$$\omega_1 = 0, \quad \omega_2 = \sqrt{\frac{k}{m}}, \quad \omega_3 = \sqrt{\frac{k}{m} \left(1 + \frac{2m}{M}\right)}$$

- Exemplo: A molécula tri-atômica.



- modo normal “nulo”: $\omega_1 = 0$

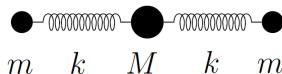
$$\ddot{\zeta}_1 = 0.$$

Corresponde a uma translação do sistema sem custo de energia, expressando a conservação do **momento linear do centro de massa!**

Podemos eliminar o **modo normal nulo** fixando o centro de massa

$$m(x_1 + x_3) + Mx_2 = 0$$

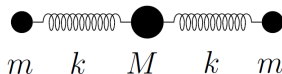
- Exemplo: A molécula tri-atómica.



- vectores próprios $\vec{a}_k \in N(\mathbf{V} - \omega^2 \mathbf{T})$

$$N(\mathbf{V} - \omega^2 \mathbf{T}) = 0 \Leftrightarrow \begin{bmatrix} k - m\omega_k^2 & -k & 0 \\ -k & 2k - M\omega_k^2 & -k \\ 0 & -k & k - m\omega_k^2 \end{bmatrix} \begin{bmatrix} a_{1;k} \\ a_{2;k} \\ a_{3;k} \end{bmatrix} = 0$$

- Exemplo: A molécula tri-atômica.



- vector próprio \vec{a}_1 ($\omega_1 = 0$): $\Rightarrow \Rightarrow \Rightarrow$

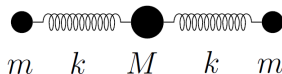
$$\vec{a}_1 = C_1 \begin{bmatrix} 1 \\ 1 \\ 1 \end{bmatrix}.$$

Recorrendo à condição de normalização $\vec{a}_1^T \cdot \mathbf{T} \cdot \vec{a}_1 = 1$,

$$m(a_{1;1}^2 + a_{2;1}^2) + Ma_{3;1}^2 = 1 \Rightarrow C_1 = \frac{1}{\sqrt{2m + M}}.$$

Fica definida a **primeira coluna** da matriz **A**.

- Exemplo: A molécula tri-atômica.



- vector próprio \vec{a}_2 ($\omega_2 = \sqrt{k/m}$): $\Leftarrow \bullet \Rightarrow$

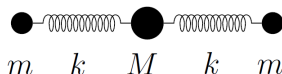
$$\vec{a}_2 = C_2 \begin{bmatrix} 1 \\ 0 \\ -1 \end{bmatrix}.$$

Recorrendo à condição de normalização $\vec{a}_1^T \cdot \mathbf{T} \cdot \vec{a}_1 = 1$,

$$m(a_{1;2}^2 + a_{2;2}^2) + Ma_{3;2}^2 = 1 \Rightarrow C_2 = \frac{1}{\sqrt{2m}}.$$

Fica definida a **segunda coluna** da matriz **A**.

- Exemplo: A molécula tri-atómica.



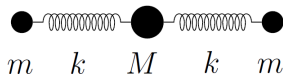
- vector próprio \vec{a}_3 ($\omega_3 = \sqrt{(k/m)(1 + 2m/M)}$): $\Leftarrow \Rightarrow \Leftarrow$

$$a_{1;3} = a_{3;3} (\dots)$$

$$\vec{a}_3 = \begin{bmatrix} \frac{1}{\sqrt{2m(1 + 2m/M)}} \\ -2 \\ \frac{1}{\sqrt{2M(2 + M/m)}} \\ \frac{1}{\sqrt{2m(1 + 2m/M)}} \end{bmatrix}.$$

Fica definida a **terceira coluna** da matriz **A**.

- Exemplo: A molécula tri-atômica.



Os **modos normais** $\zeta_k = A_{k\ell}^T \eta_\ell$ descrevem a dinâmica das vibrações

$$\zeta_1 = \sqrt{\frac{m}{2m+M}} \left(\eta_1 + \sqrt{\frac{M}{m}} \eta_2 + \eta_3 \right)$$

$$\zeta_2 = \frac{1}{\sqrt{2}} (\eta_1 - \eta_3)$$

$$\zeta_3 = \sqrt{\frac{M}{2m+M}} \left(\frac{1}{\sqrt{2}} (\eta_1 + \eta_3) - \sqrt{\frac{2m}{M}} \eta_2 \right)$$

No caso de existirem **forças exteriores**, necessitamos de introduzir forças generalizadas. No formalismo das pequenas oscilações, $q_i = q_{0i} + \eta_i$

$$Q_i = \vec{F}_j^{\text{ext}} \cdot \frac{\partial \vec{r}_j}{\partial q_i} = \vec{F}_j^{\text{ext}} \cdot \frac{\partial \vec{r}_j}{\partial \eta_i}.$$

Para o Lagrangeano para pequenas oscilações $L = \frac{1}{2} T_{ij} \dot{\eta}_i \dot{\eta}_j - \frac{1}{2} V_{ij} \eta_i \eta_j$, temos

$$\frac{d}{dt} \frac{\partial L}{\partial \dot{\eta}_k} - \frac{\partial L}{\partial \eta_k} = Q_k \quad \implies T_{ik} \ddot{\eta}_k + V_{ik} \eta_k = Q_k.$$

Usando as coordenadas normais $\zeta_i = A_{ji} \eta_j$ ⁵

$$\boxed{\ddot{\zeta}_i + \omega_i^2 \zeta_i = A_{ji} Q_j \equiv Q_i}$$

⁵Recorde-se: $A_{ji} = A_{ij}^T$, com A_{ij} sendo a matriz dos vectores próprios.

Na maior parte dos casos de interesse, $Q_i = Q_{0i}e^{-i\Omega_i t}$. É natural pensar que o sistema seguirá a frequência imposta exteriormente, Ω_i , mais um factor de fase⁶. Assim,

$$\zeta_i(t) = \text{Re} \left[\mathcal{B}_i e^{-i(\Omega_i t + \delta_i)} \right].$$

Inserindo na equação do movimento, obtemos a **amplitude**

$$\mathcal{B}_i e^{-i(\Omega_i t + \delta_i)} = \frac{Q_{0i} e^{-i\Omega_i t}}{\omega_i^2 - \Omega_i^2} \implies \delta_i = 0.$$

Em termos das coordenadas generalizadas,

$$\eta_i(t) = A_{ij} \zeta_j(t) = \frac{Q_{0i}}{\omega_i^2 - \Omega_i^2} \cos(\Omega_i t).$$

Ressonância: $\Omega_i \rightarrow \omega_i \implies \eta_i(t) \rightarrow \infty$

⁶Na verdade, em ACED verão que a solução corresponde à soma da soluções homogénea e particular...

Uma forma de evitar a “explosão” das solução é introduzir o efeito da **dissipação**. Para potenciais de Rayleigh quadráticos,

$$\mathcal{F} = \frac{1}{2} \mathcal{F}_{ij} \dot{q}_i \dot{q}_j \simeq \frac{1}{2} \mathcal{F}_{ij} \dot{\eta}_i \dot{\eta}_j.$$

As equações de Euler-Lagrange escrevem-se, então,

$$\frac{d}{dt} \frac{\partial L}{\partial \dot{\eta}_k} - \frac{\partial L}{\partial \eta_k} + \frac{\partial \mathcal{F}}{\partial \dot{\eta}_k} = Q_k,$$

$$\Leftrightarrow T_{ki} \ddot{\eta}_i + V_{ki} \eta_i + \mathcal{F}_{ki} \dot{\eta}_i = Q_{0k} e^{-i\Omega_k t}.$$

Procurando soluções do tipo $\eta_i(t) = \text{Re} [B_i e^{-i\Omega_i t + \delta_i}]$, vem

$$(V_{ki} - \Omega_i^2 T_{ki} - i\Omega_i \mathcal{F}_{ki}) \eta_i = Q_k.$$

Em geral, esta equação é complicada (i.e. não podemos diagonalizar \mathbf{V} , \mathbf{T} e \mathcal{F} simultaneamente (c.f. Goldstein, §6.5)

$$(V_{ki} - \Omega_i^2 T_{ki} - i\Omega_i \mathcal{F}_{ki}) \eta_i = Q_k.$$

Em alguns casos, \mathcal{F} e \mathbf{T} são diagonalizáveis simultaneamente.

- $\mathcal{F}_{ij} = \gamma m_{ij} = 2\gamma T_{ij}$

Definindo a contracção $\mathcal{F}_{ij}\dot{\eta}_j = 2\gamma_i\dot{\eta}_i$ (sem soma no índice i), a equação do movimento vem

$$[V_{ki} - (\Omega_i^2 - 2i\gamma_i\Omega_k)T_{ki}] \eta_i = Q_k.$$

Em termos das coordenadas normais, $\eta_i = A_{ji}\zeta_j$, (sem soma em k)

$$(\omega_k^2 - \Omega_k^2 + 2i\gamma_k\Omega_k) \zeta_k = Q_k.$$

Explicitamente, $\mathcal{Q}_k = \mathcal{Q}_{0k} e^{-i\Omega_k t}$, $\zeta_k(t) = \text{Re} \left[\mathcal{B}_k e^{-i(\Omega_k t + \delta_k)} \right]$, pelo que

$$(\omega_k^2 - \Omega_k^2 + 2i\gamma_k \Omega_k) \mathcal{B}_k = \mathcal{Q}_{0k} e^{i\delta_k},$$

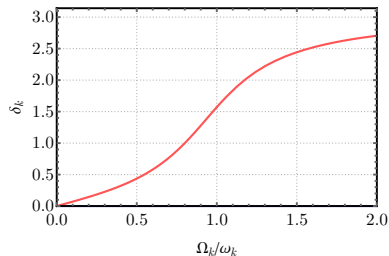
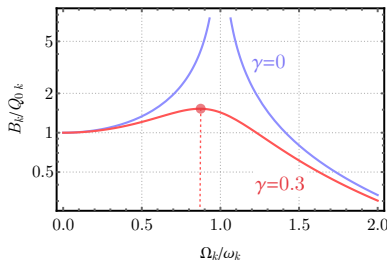
$$\begin{cases} (\omega_k^2 - \Omega_k^2) \mathcal{B}_k = \mathcal{Q}_{0k} \cos(\delta_k) \\ 2\gamma_k \Omega_k \mathcal{B}_k = \mathcal{Q}_{0k} \sin(\delta_k) \end{cases}$$

A **amplitude** e a **fase** de um determinado modo k são, portanto,

$$\boxed{\mathcal{B}_k = \frac{\mathcal{Q}_{0k}}{\sqrt{(\omega_k^2 - \Omega_k^2)^2 + 4\gamma_k^2 \Omega_k^2}}} \quad \text{e} \quad \boxed{\tan \delta_k = \frac{2\gamma_k \Omega_k}{\omega_k^2 - \Omega_k^2}}.$$

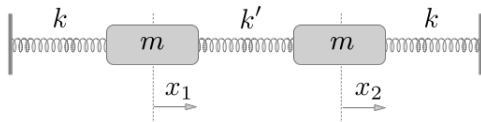
A **amplitude** e a **fase** de um determinado modo k são, portanto,

$$\mathcal{B}_k = \frac{\mathcal{Q}_{0k}}{\sqrt{(\omega_k^2 - \Omega_k^2)^2 + 4\gamma_k^2\Omega_k^2}} \quad \text{e} \quad \tan \delta_k = \frac{2\gamma_k\Omega_k}{\omega_k^2 - \Omega_k^2}.$$



A amplitude máxima ocorre para a frequência $\Omega_{k,\max} = \sqrt{\omega_k^2 - 2\gamma_k^2}$.

- Exemplo 1: Osciladores acoplados



$$L = \frac{1}{2}m(\dot{x}_1^2 + \dot{x}_2^2) - \frac{1}{2}k(x_1^2 + x_2^2) - \frac{1}{2}k'(x_1 - x_2)^2$$

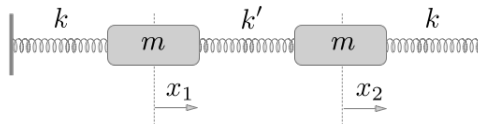
No formalismo das pequenas oscilações,

$$\mathbf{T} = \begin{bmatrix} m & 0 \\ 0 & m \end{bmatrix}, \quad \mathbf{V} = \begin{bmatrix} k + k' & -k' \\ -k' & k + k' \end{bmatrix}.$$

Valores próprios (usando $x_i = x_{0i}e^{-i\omega t}$):

$$\det(\omega^2 \mathbf{T} - \mathbf{V}) = 0 \Leftrightarrow \begin{vmatrix} \omega^2 - \frac{k + k'}{m} & \frac{k}{m} \\ \frac{k}{m} & \omega^2 - \frac{k + k'}{m} \end{vmatrix} = 0$$

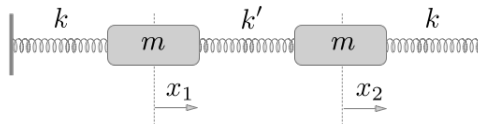
- Exemplo 1: Osciladores acoplados



$$\det(\omega^2 \mathbf{T} - \mathbf{V}) = 0 \Leftrightarrow \begin{vmatrix} \omega^2 - \frac{k+k'}{m} & \frac{k'}{m} \\ \frac{k'}{m} & \omega^2 - \frac{k+k'}{m} \end{vmatrix} = 0,$$

$$\boxed{\omega = \omega_+ \equiv \sqrt{\frac{k+2k'}{m}}} \quad \text{e} \quad \boxed{\omega = \omega_- \equiv \sqrt{\frac{k}{m}}}$$

- Exemplo 1: Osciladores acoplados



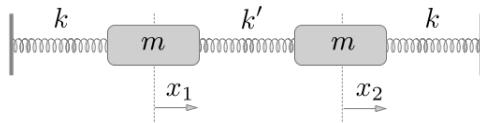
$$\omega = \omega_+ \equiv \sqrt{\frac{k + 2k'}{m}} \quad \text{e} \quad \omega = \omega_- \equiv \sqrt{\frac{k}{m}}$$

Vectores próprios (normalizados, $\vec{a}_\alpha^T \cdot \mathbf{T} \cdot \vec{a}_\beta = \mathbb{I} \delta_{\alpha\beta}$):

$$N (\omega_\pm^2 \mathbf{T} - \mathbf{V}) \Leftrightarrow (\omega_\pm^2 \mathbf{T} - \mathbf{V}) \cdot \vec{a}_\pm = 0,$$

$$\boxed{\vec{a}_- = \frac{1}{\sqrt{2}} \begin{bmatrix} 1 \\ 1 \end{bmatrix}} \quad \text{e} \quad \boxed{\vec{a}_+ = \frac{1}{\sqrt{2}} \begin{bmatrix} 1 \\ -1 \end{bmatrix}}$$

- Exemplo 1: Osciladores acoplados



$$\mathbf{A} = \frac{1}{\sqrt{2}} \begin{bmatrix} 1 & 1 \\ 1 & -1 \end{bmatrix}$$

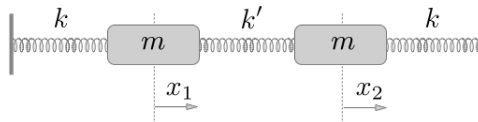
Modos normais: $\zeta_i = A_{ji}x_j$,

$$\boxed{\zeta_1 = \frac{1}{\sqrt{2}}(x_1 + x_2)} \quad \text{e} \quad \boxed{\zeta_2 = \frac{1}{\sqrt{2}}(x_1 - x_2)}$$

Solução homogénea: Combinação linear dos modos normais

$$\vec{x}_{\text{hom.}}(t) = \alpha \begin{bmatrix} 1 \\ 1 \end{bmatrix} e^{-i\omega_- t} + \beta \begin{bmatrix} 1 \\ -1 \end{bmatrix} e^{-i\omega_+ t}.$$

- Exemplo 1: Osciladores acoplados



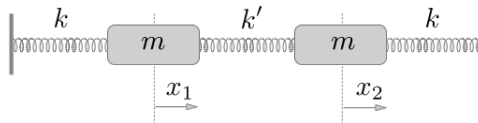
Consideremos agora que o primeiro oscilador é **forçado**
 $(Q_1 = m\mathcal{A}_0 \cos(\Omega t), Q_2 = 0)$

$$T_{ij}\ddot{x}_j + V_{ij}x_j = Q_i.$$

Usando soluções do tipo $x_i(t) = \text{Re}[B_i e^{-i\Omega t}]$ ($\delta_i = 0$)

$$\begin{cases} \left(-\Omega^2 + \frac{k+k'}{m}\right) B_1 - \frac{k'}{m} B_2 = \mathcal{A}_0 \\ -\frac{k'}{m} B_1 + \left(-\Omega^2 + \frac{k+k'}{m}\right) B_2 = 0 \end{cases}$$

- Exemplo 1: Osciladores acoplados



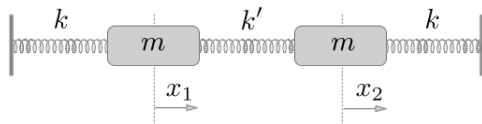
Consideremos agora que o primeiro oscilador é **forçado**
 $(Q_1 = m\mathcal{A}_0 \cos(\Omega t), Q_2 = 0)$

$$T_{ij}\dot{x}_j + V_{ij}x_j = Q_i.$$

Usando soluções do tipo $x_i(t) = \text{Re}[B_i e^{-i\Omega t}]$ ($\delta_i = 0$)

$$\underbrace{\begin{bmatrix} \Omega^2 - \frac{k+k'}{m} & \frac{k'}{m} \\ \frac{k'}{m} & \Omega^2 - \frac{k+k'}{m} \end{bmatrix}}_{\mathbf{D}} \underbrace{\begin{bmatrix} B_1 \\ B_2 \end{bmatrix}}_{\vec{B}} = \underbrace{\begin{bmatrix} -\mathcal{A}_0 \\ 0 \end{bmatrix}}_{\vec{A}}$$

- Exemplo 1: Osciladores acoplados



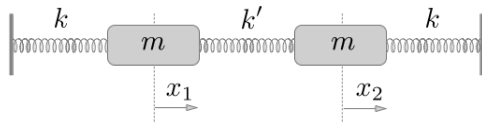
A **solução particular** corresponde à solução de

$$\mathbf{D} \cdot \vec{B} = \vec{\mathcal{A}}.$$

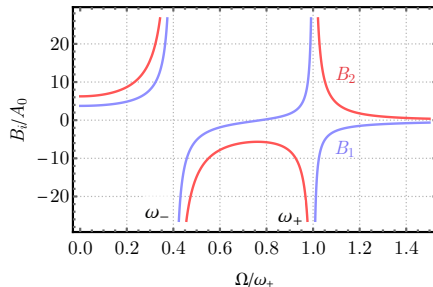
Regra de Cramers: $B_i = \frac{\det(\mathbf{D}_i)}{\det(\mathbf{D})}$, onde $\det(\mathbf{D}) = (\Omega^2 - \omega_-^2)(\Omega^2 - \omega_+^2)$ e

$$\mathbf{D}_1 = \begin{bmatrix} -\mathcal{A}_0 & \frac{k'}{m} \\ 0 & \Omega^2 - \frac{k + k'}{m} \end{bmatrix}, \quad \mathbf{D}_2 = \begin{bmatrix} \Omega^2 - \frac{k + k'}{m} & -\mathcal{A}_0 \\ \frac{k'}{m} & 0 \end{bmatrix}$$

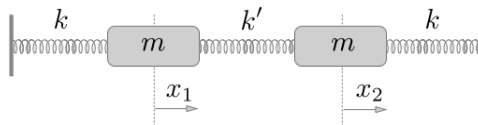
- Exemplo 1: Osciladores acoplados



$$B_1 = \frac{\mathcal{A}_0 \left(\frac{k+k'}{m} - \Omega^2 \right)}{(\Omega^2 - \omega_-^2)(\Omega^2 - \omega_+^2)}, \quad B_2 = \frac{\mathcal{A}_0 \frac{k}{m}}{(\Omega^2 - \omega_-^2)(\Omega^2 - \omega_+^2)}$$



- Exemplo 1: Osciladores acoplados

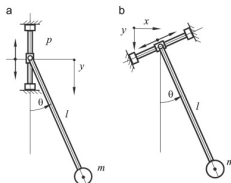


$$B_1 = \frac{\mathcal{A}_0 \left(\frac{k+k'}{m} - \Omega^2 \right)}{(\Omega^2 - \omega_-^2)(\Omega^2 - \omega_+^2)}, \quad B_2 = \frac{\mathcal{A}_0 \frac{k}{m}}{(\Omega^2 - \omega_-^2)(\Omega^2 - \omega_+^2)}$$

Solução geral do movimento:

$$\vec{x}(t) = \underbrace{\alpha \begin{bmatrix} 1 \\ 1 \end{bmatrix} e^{-i\omega_- t} + \beta \begin{bmatrix} 1 \\ -1 \end{bmatrix} e^{-i\omega_+ t}}_{\vec{x}_{\text{hom.}}} + \underbrace{\begin{bmatrix} B_1 \\ B_2 \end{bmatrix} e^{-i\Omega t}}_{\vec{x}_{\text{particular}}}$$

- Exemplo 2: O pêndulo paramétrico



Pêndulo de ponto de suspensão variável, $Y = Y(t)$ (caso a).

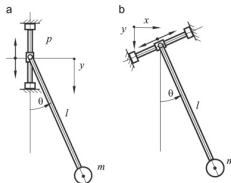
$$L(\theta, \dot{\theta}; t) = \frac{1}{2}m \left[\ell^2 \dot{\theta}^2 + \dot{Y}^2 - 2\dot{Y}\dot{\theta}\ell \sin \theta \right] + mg(\ell \cos \theta + Y).$$

$$\ddot{\theta} - \frac{\ddot{Y}}{\ell} \sin \theta + \frac{g}{\ell} \sin \theta = 0.$$

Para o caso sinusoidal, $Y(t) = Y_0 \cos(\Omega t)$ com $Y_0 \ll \ell$,

$$\ddot{\theta} + \frac{g}{\ell} \left[1 + \frac{Y_0 \Omega^2}{g} \cos(\Omega t) \right] \sin \theta = 0.$$

- Exemplo 2: O pêndulo paramétrico



$$\omega_0 = \sqrt{g/\ell} \text{ e } \epsilon = Y_0 \Omega^2 / g$$

Equação de Mathieu

$$\ddot{\theta} + \omega_0^2 [1 + \epsilon \cos(\Omega t)] \sin \theta = 0$$

- Exemplo 2: O pêndulo paramétrico

$$\ddot{\theta} + \omega_0^2 [1 + \epsilon \cos(\Omega t)] \sin \theta = 0$$

Questão: Para que valores de Ω e ϵ o ponto $\theta = 0$ é estável? Na vizinhança de $\theta = 0$,

$$\ddot{\theta} + \omega_0^2 [1 + \epsilon \cos(\Omega t)] \theta \simeq 0.$$

As soluções a esta equação envolvem a **teoria de Floquet**⁷.

Algumas propriedades das soluções:

1. Periodicidade: Se $\theta(t)$ é solução, $\theta(t + T)$ também o é.
2. Linearidade das soluções: $\theta(t) = A\theta_1(t) + B\theta_2(t)$

Combinando estas propriedades, temos

$$\theta_1(t + T) = \alpha\theta_1(t) + \beta\theta_2(t), \quad \theta_2(t + T) = \gamma\theta_1(t) + \delta\theta_2(t)$$

⁷c.f. Bender and Orszag, pág. 560

- Exemplo 2: O pêndulo paramétrico

$$\ddot{\theta} + \omega_0^2 [1 + \epsilon \cos(\Omega t)] \theta \simeq 0.$$

Uma vez que $\theta(t) = A\theta_1(t) + B\theta_2(t)$, temos que

$$\theta(t+T) = A'\theta_1(t) + B'\theta_2(t), \quad \text{onde} \quad \begin{bmatrix} A' \\ B' \end{bmatrix} = \overbrace{\begin{bmatrix} \alpha & \beta \\ \gamma & \delta \end{bmatrix}}^{\mathbf{M}} \overbrace{\begin{bmatrix} A \\ B \end{bmatrix}}^{\vec{a}}.$$

Escolhendo A e B tal que $\mathbf{M} \cdot \vec{a} = \lambda \vec{a}$, $\vec{a}' = \lambda \vec{a}$, podemos concluir que

$$\boxed{\theta(t+T) = \lambda \theta(t)}$$

∴ A estabilidade depende do factor de escala λ , a determinar: Se $\lambda > 0$, a solução diz-se **instável** (a solução “cresce” no tempo)

- Exemplo 2: O pêndulo paramétrico

Definindo $\lambda = e^{\mu T}$, vem

$$\theta(t + T) = e^{\mu T} \theta(t).$$

Podemos escrever em termos de uma função periódica $P(t) = P(t + T)$,

$$\theta(t) = e^{\mu t} P(t).^8$$

Isto reduz o problema ao estudo do sinal de μ . Nestas condições, testemos soluções do tipo

$$\theta(t) = a(t) \cos \left[\left(\omega_0 - \frac{\nu}{2} \right) t \right] + b(t) \sin \left[\left(\omega_0 - \frac{\nu}{2} \right) t \right].$$

Antes de substituir directamente...

1. Definimos $\Omega = 2\omega_0 + \nu$ (esperando ressonância para $\Omega = 2\omega_0$);
2. Desprezamos termos $\mathcal{O}(\nu^2, \epsilon^2)$;
3. Assumimos que $\dot{a} \sim \nu a$ e $\dot{b} \sim \nu b$.

⁸ $\theta(t + T) = e^{\mu(t+T)} P(t + T) = e^{\mu T} e^{\mu t} P(t) = e^{\mu T} \theta(t).$

- Exemplo 2: O pêndulo paramétrico

Usamos relações trigonométricas do tipo⁹

$$\cos \left[\left(\omega_0 + \frac{\nu}{2} \right) t \right] \cos [(2\omega_0 + \nu)t] = \overbrace{\frac{1}{2} \cos \left[3 \left(\omega_0 + \frac{\nu}{2} \right) t \right]}^{\sim \epsilon^2} + \frac{1}{2} \cos \left[\left(\omega_0 + \frac{\nu}{2} \right) t \right],$$

obtemos, após substituição na equação de Mathieu

$$- \left(2\dot{a} + \nu b + \frac{\epsilon \omega_0}{2} b \right) \omega_0 \sin(\varphi) + \left(2\dot{b} - \nu a + \frac{\epsilon \omega_0}{2} a \right) \omega_0 \cos(\varphi) = 0,$$

onde $\varphi = (\omega_0 + \nu/2)t$. Para que a identidade seja satisfeita para todo o t ,

$$\left(2\dot{a} + \nu b + \frac{\epsilon \omega_0}{2} b \right) = 0, \quad \left(2\dot{b} - \nu a + \frac{\epsilon \omega_0}{2} a \right) = 0.$$

⁹ $\cos A \cos B = [\cos(A + B) + \cos(A - B)] / 2$

- Exemplo 2: O pêndulo paramétrico

Se $a(t) = a_0 e^{\mu t}$ e $b(t) = b_0 e^{\mu t}$, $\dot{a} = \mu a$ e $\dot{b} = \mu b$, implicando

$$\begin{vmatrix} \mu & \frac{1}{2} \left(\nu + \frac{\epsilon}{2} \omega_0 \right) \\ -\mu & \frac{1}{2} \left(\nu - \frac{\epsilon}{2} \omega_0 \right) \end{vmatrix} = 0,$$

que fornece as soluções

$$\mu^2 = \pm \frac{1}{4} \left[\left(\frac{\epsilon}{2} \omega_0 \right)^2 - \nu^2 \right].$$

A situação de instabilidade ocorre para $\mu > 0$, $-\epsilon \omega_0 / 2 < \nu < \epsilon \omega_0 / 2$.

Ressonância Paramétrica, em ordem $\mathcal{O}(\epsilon^2, \nu^2)$

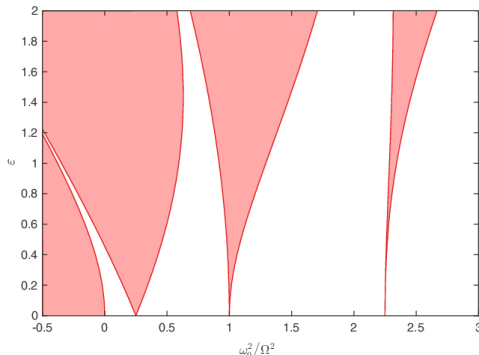
$$\left(2 - \frac{\epsilon}{2} \right) \omega_0 < \Omega < \left(2 + \frac{\epsilon}{2} \right) \omega_0$$

- Exemplo 2: O pêndulo paramétrico

Para o caso genérico, é preciso fazer uma expansão a múltiplas escalas

$$\theta(t) = \theta^{(0)}(t) + \epsilon\theta^{(1)}(t + T) + \epsilon^2\theta^{(2)}(t + 2T)...$$

Substituição na eq. de Mathieu conduz ao famoso **determinante de Hill**, que tem de ser truncado a uma determinada ordem.



As regiões a **vermelho** são instáveis ($\mu > 0$).